



Обоснование диапазона регулирования частот вращения приводов на основе вентильных электродвигателей

Владимир Павленко, Матвей Гинзбург, ООО «РИТЭК-ИТЦ»

Продолжая рассказывать об исследованиях специалистов компании «РИТЭК», отметим, что сегодня на российском рынке предлагаются две принципиально различные конструкции приводов УЭЦН на основе вентильных электродвигателей: с регулируемым диапазоном частоты вращения до 3600 об./мин. и высокооборотные вентильные приводы с диапазоном частот вращения 6000–10000 об./мин. В настоящее время УЭЦН с вентильными приводами с диапазоном регулирования до 3600 об./мин. работают на 420 скважинах нефтедобывающих предприятий «ЛУКОЙЛа» и ОАО «РИТЭК». Объемы использования таких приводов растут.

В данной статье авторы обосновывают выбранный диапазон регулирования частот вращения разработанных и выпускаемых ООО «РИТЭК-ИТЦ» приводов на основе вентильных электродвигателей.

<p>В последние годы в нефтяной отрасли интенсивно растут объемы использования УЭЦН с регулируемым электроприводом на базе серийных асинхронных погружных электродвигателей типа ПЭД и преобразователей частоты. Регулируемый привод в сочетании с системой телеметрии позволяет не только обеспечить поддержание динамического уровня в скважине, но и адаптировать режим работы насоса к изменяющемуся в процессе эксплуатации притоку из пласта. Однако такие приводы не обеспечивают универсального повышения эффективности использования потребляемой энергии, так как в регулируемом электроприводе используются погружные асинхронные электродвигатели с относительно невысоким КПД, при эксплуатации которых в определенных режимах их работы возникают проблемы перегрева ПЭД, приводящие к существенному снижению ресурса установки.</p> <p>Уменьшение температуры нагрева ПЭД сводится к проблеме повы-</p>	<p>шения КПД двигателя и обеспечения условий теплоотвода.</p> <p>Для повышения энергетической эффективности УЭЦН необходимы двигатели не только с более высокими КПД, но и с максимально низкими значениями рабочих токов, что позволяет существенно сократить потери мощности в кабельных токоподводах.</p> <p>Наиболее полно этим требованиям отвечает вентильный электродвигатель с постоянными магнитами в роторе [1].</p> <p>Вентильный электродвигатель не является самодостаточным, так как он не может работать без преобразователя частоты и системы управления, в отличие от асинхронных электродвигателей, которые могут работать как с преобразователем частоты, так и без него. «Вентильные двигатели являются электромеханическими преобразователями энергии, которые сочетают в себе свойства и электрической машины, и интегрированной системы регулируемого электроприво-</p>	<p>да» [2]. Как всякий электродвигатель, он обеспечивает преобразование электрической энергии, которая поступает от питающей сети, в отдаваемую механическую энергию. Как система регулируемого электропривода, вентильный электродвигатель дает возможность осуществлять управление этим процессом в соответствии с особенностями конкретной нагрузки: регулировать частоту вращения, момент, мощность, что существенно повышает технологические возможности при эксплуатации УЭЦН.</p> <p>Выбор частоты вращения вентильного привода УЭЦН</p> <p>Возможность реализации любой частоты вращения вентильного электродвигателя ставит перед разработчиком задачу выбора его диапазона регулирования.</p> <p>Выбор номинальной частоты вращения вентильного электродвигателя для привода УЭЦН и диапазона его регулирования был проведен на</p>
--	--	--

основе экспертной оценки преимуществ и недостатков вентильных приводов и всей установки УЭЦН, работающих в различных диапазонах частот вращения. Оценивалось влияние частот вращения на их ресурсные, энергетические и функциональные характеристики. При проведении оценки влияния частоты вращения на совокупность качественных характеристик приводов и всей установки не ставилась задача проведения сопоставительных расчетов параметров сравниваемых вариантов вентильных электродвигателей, работающих при различных частотах вращения. Проведение таких расчетов требует учета конструктивных особенностей двигателей и использования экспериментальных данных. Анализировались лишь структура потерь и аналитические зависимости, по которым они рассчитываются, что позволило оценить влияние параметров частоты вращения на ресурс оборудования и величины потерь.

Структура потерь в вентильном приводе имеет вид:

$$P_{\text{пр}} = P_d + P_k + P_t, \quad (1)$$

где P_d — потери в двигателе;
 P_k — потери в кабеле;
 P_t — потери в трансформаторе.

Массогабаритные, энергетические и ресурсные характеристики серийных УЭЦН определяются в основном номинальной частотой вращения (2910 об./мин.) работающих в составе установки асинхронных погружных электродвигателей.

Увеличение частоты вращения двигателя и насоса позволяет существенно сократить массогабаритные параметры УЭЦН, что, безусловно, повысит эффективность эксплуатации УЭЦН в обсадных колоннах повышенной кривизны и имеющих дефекты. Актуализируется проблема снижения продольных габаритов УЭЦН и в связи с расширением объемов использования высоконапорных многосекционных насосов и

многосекционных электродвигателей большой мощности.

Однако увеличение частоты вращения ведет к снижению ресурса деталей проточной части ЭЦН [3], [4] и изоляции обмотки двигателей из-за более высокого ее перегрева в высокоскоростных двигателях, имеющих меньшую длину и, соответственно, меньшую площадь теплообмена с потоком откачиваемой скважинной продукции [5].

Переход на высокооборотный привод сопряжен с необходимостью создания новых насосов с использованием в них более износостойких материалов, что влечет за собой их существенное удорожание. При всей сложности этой задачи она с технической точки зрения вполне реализуема, в отличие от задачи создания высокоресурсных высокоскоростных малогабаритных вентильных электродвигателей из-за напряженного теплового режима их работы.

Структура потерь в электродвигателе имеет вид:

$$P_d = P_m + P_c + P_{\text{мех}}, \quad (2)$$

где P_m — потери в меди;
 P_c — потери в стали;
 $P_{\text{мех}}$ — потери механические.

Потери в меди практически не зависят от частоты тока, а потери в стали пропорциональны частоте в степени 1,3 [6]. Например, если принять, что сравниваемые двигатели одинаковой мощности имеют равное количество полюсов, то потери в стали двигателей, работающих с частотой вращения 9000 об./мин., будут примерно на 40% больше потерь в стали двигателей, работающих с частотой вращения 3000 об./мин. Снижение потерь в стали в высокоскоростных двигателях может быть обеспечено уменьшением толщины статорных листов, что, однако, увеличивает стоимость электрической машины.

В погружных маслозаполненных электродвигателях механические

потери достигают 30% общих потерь, что составляет 3-4% полезной мощности. Такой большой процент механических потерь требует тщательного учета всех факторов, наиболее существенно влияющих на них.

Структура механических потерь в маслозаполненных электродвигателях [7]:

$$P_{\text{мех}} = P_n + P_{tp}, \quad (3)$$

где P_n — потери в подшипниках;
 P_{tp} — потери на трение поверхности ротора о масло в зазоре.

При этом потери в подшипниках определяются зависимостью:

$$P_n = P_y + m P_p, \quad (4)$$

где P_y — потери в упорном подшипнике;
 P_p — потери в радиальном подшипнике;
 m — количество радиальных опор в электродвигателе.

В высокооборотном погружном двигателе количество радиальных опор m меньше, чем у низкооборотного равной мощности. Потери в радиальных подшипниках определяются их конструктивными параметрами, применяемыми материалами, частотой вращения, характеристикой масла, его температурой и др. Поэтому при расчете потерь в подшипниках погружных электродвигателей наряду с использованием основных положений гидродинамической теории смазки используются также эмпирические зависимости, полученные на основе экспериментальных данных.

Потери на трение поверхности ротора о масло в зазоре:

$$P_{tp} = 2,25 D^4 L n^3 \lambda 10^{-11}, \quad (5)$$

где D — диаметр пакета ротора;
 L — длина пакета ротора;
 n — частота вращения;
 λ — коэффициент сопротивления движению жидкости в зазоре.

При равных мощностях и одинаковых конструктивных параметрах



двигателей соотношение длин пакетов ротора в зависимости от частоты вращения определяется выражением:

$$L_2 = L_1 \frac{n_1}{n_2}, \quad (6)$$

где L_1 — длина пакета ротора двигателя, работающего с частотой вращения n_1 ;

L_2 — длина пакета ротора двигателя, работающего с частотой вращения n_2 .

С учетом (5) и (6) можно записать

$$\frac{P_{2tp}}{P_{1tp}} = \left(\frac{n_2}{n_1} \right)^2, \quad (7)$$

где P_{1tp} — гидромеханические потери на трение пакета ротора о масло при частоте вращения n_1 ;

P_{2tp} — гидромеханические потери на трение пакета ротора о масло при частоте вращения n_2 .

Из формулы (7) следует, что при равных мощностях гидромеханические потери на трение ротора о масло в двигателях, работающих с большей частотой вращения, выше, чем в двигателях с меньшей частотой вращения. Например, если $n_1 = 3000$ об./мин., а $n_2 = 9000$ об./мин., то гидромеханические потери в двигателе, работающем с частотой вращения 9000 об./мин., в 9 раз выше, чем в двигателе, работающем с частотой вращения 3000 об./мин.

Наибольшее влияние на гидромеханические потери оказывает диаметр роторного пакета.

С уменьшением диаметра ротора, позволяющим снизить гидромеханические потери, для обеспечения заданной мощности необходимо увеличить длину его пакета, что, в свою очередь, ведет к росту гидромеханических потерь. Однако, если предположить, что при создании высокооборотного двигателя за счет конструктивных решений и применения магнитов с высокими удельными энергиями удалось, например, уменьшить диаметр ротора на 20% без увеличения его

длины, то и в этом случае гидромеханические потери в двигателе, работающем с частотой вращения 9000 об./мин., с диаметром ротора $D_2 = 0,8D_1$, будут в три раза выше, чем в двигателе с диаметром ротора D_1 , работающем с частотой вращения 3000 об./мин.

Вентильные электродвигатели при равных с асинхронными мощностях и напряжениях имеют меньшие значения рабочих токов. При увеличении частоты вращения и связанным с этим ростом потерь, при равных мощностях рабочий ток высокоскоростного вентильного электродвигателя будет выше, чем у вентильного электродвигателя с меньшей частотой вращения.

Несинусоидальный характер токов в системе вентильного привода и повышенная частота основной гармоники требует оценки возможных дополнительных потерь, как в повышающем трансформаторе, так и в проводниках токоподвода. Возможное увеличение потерь в трансформаторе от влияния высших гармоник не превышает 5-8% [8], причем с повышением частоты тока потери возрастают. В вентильных приводах для УЭЦН, работающих с частотой тока до 200 Гц, возможно использование стандартных трансформаторов типа ТМПН с двух и более кратным запасом по габаритной мощности относительно мощности ВД. Потери от влияния высших гармоник в трансформаторе, работающем с частотой тока до 200 Гц будут ниже, чем в трансформаторах, работающих с частотой тока до 500 Гц.

Потери напряжения от высших гармоник в токопроводе не превышают 3-5% от потерь на основной гармонике [9], поэтому снижение энергетических показателей системы трансформатор ТМП — кабельная линия КПБП при работе с частотой тока до 200 Гц будет ниже, чем в системе трансформатор — кабельная линия при работе с частотой тока 500 Гц.

Проведенная оценка преиму-

ществ и недостатков вентильных приводов и всей установки УЭЦН, работающих в различных диапазонах частот вращения, показала, что по энергетическим и ресурсным параметрам высокоскоростные вентильные электродвигатели уступают двигателям, работающим с меньшей частотой вращения. Недостаточно изучен также вопрос работы насосов при повышенных частотах вращения в реальной водонефтегазожидкостной среде.

Поставленная задача создания энергоэффективного высоконадежного вентильного привода, который сумеет в перспективе заменить асинхронные электродвигатели ПЭД в установках УЭЦН, по нашей оценке, сегодня не может быть решена на базе высокоскоростных двигателей.

Уменьшение продольных габаритов УЭЦН за счет повышения частоты вращения насоса и двигателя приведет к снижению его энергетических и ресурсных характеристик и существенному повышению цены такой установки. Высокоскоростные установки могут быть использованы с учетом конъюнктурных обстоятельств, когда высокая цена установки, ее более низкие энергетическая эффективность и ресурс обеспечивают экономический результат при эксплуатации скважин таким оборудованием. Исходя из проведенного анализа был принят к разработке привод УЭЦН на основе вентильного электродвигателя типа ВД с номинальной частотой вращения 3000 об./мин. и с диапазоном регулирования 500-3600 об./мин.

Частота вращения 2910 об./мин. — это принятая в России частота вращения насоса, двигателя и гидрозащиты, при которой обеспечивается ресурс оборудования, указанный в документации разработчика и подтвержденный результатами многолетней эксплуатации. Верхнее значение частоты вращения — 3600 об./мин. — это номинальная частота

вращения насосов, выпускаемых фирмами США, в которых основные конструктивные решения и применяемые материалы идентичны конструкции и материалам российских УЭЦН, поэтому серийные насосы и гидрозащита могут работать при этой частоте вращения без снижения ресурса.

Принятый диапазон частоты вращения до 3600 об./мин. позволяет:

- применять в составе УЭЦН с вентильным приводом серийные насосы, гидрозащиту, кабельные муфты, а также максимально унифицировать с серийными ПЭД конструкцию вентильных электродвигателей ВД и технологию их изготовления и ремонта;

- компенсировать неточности расчетов параметров эксплуатации УЭЦН и подбора оборудования, которые имеют место при использовании даже самых совершенных программ подбора, а также оптимизировать работу системы «насос–скважина» в случае изменений параметров работы пласта.

Возможность реализации поставленных задач обеспечивает разработанный ООО «РИТЭК-ИТЦ» типоразмерный ряд приводов УЭЦН,

состоящий из станций управления типа «РИТЭКС» и вентильных электродвигателей ВД [4].

С 2006 г. выпускаются приводы на основе ВД с системой телеметрии, позволяющей поддерживать заданный динамический уровень в скважине за счет автоматического изменения частоты вращения ВД по давлению на приеме насоса, а также обеспечить защиту УЭЦН по температуре в полости двигателя и вибрации.

Энергетическая эффективность вентильных приводов УЭЦН с диапазоном регулирования до 3600 об./мин.

Нагрузочные, энергетические и тепловые характеристики вентильных приводов исследовались на специально спроектированном и смонтированном на опытно-экспериментальной базе ООО «РИТЭК-ИТЦ» стенде, структурная схема которого представлена на **рис. 1**.

Стенд предназначен для проведения экспериментально-исследовательских работ, отработки и испытаний электроприводов с вентильными электроприводами мощностью до 160 кВт.

Стенд состоит из:

- модели насоса в виде нагрузочной асинхронной машины с регулируемой нагрузкой и системой рекуперации электроэнергии;
- пульта управления стенда с информационным табло;
- станции управления «РИТЭКС» для испытываемых вентильных двигателей;
- вентильного электродвигателя для испытаний и отработки станций управления;
- силового повышающего трансформатора;
- натурного эквивалента силового кабеля, питающего погружной электродвигатель;
- физической модели окружающей среды испытываемого электродвигателя (вода с регулируемой температурой);
- цифровой системы снятия параметров электродвигателя и станции управления с последующей обработкой и регистрацией.

Сочленение рабочих валов вентильного двигателя и нагрузочной машины осуществляется посредством упругой муфты, на которой установлен прецизионный быстродействующий датчик момента. В качестве нагрузочного устройства используется асинхронная машина. Согласование скорости вращения испытываемых электродвигателей и нагрузочной машины и задание необходимого момента осуществляются с помощью преобразователя частоты, при этом асинхронная машина работает в режиме генератора, а преобразователь — в режиме рекуперации, отдавая мощность в трехфазную сеть 380 В 50 Гц. В сеть возвращается 65–70% потребляемой мощности, при этом качество возвращаемой энергии соответствует требованию ГОСТ 13109-97 «Нормы качества электрической энергии в системах электроснабжения общего назначения».

Величина тормозящего момента задается потенциометром, измеряется датчиком момента и контролируется на пульте управления.

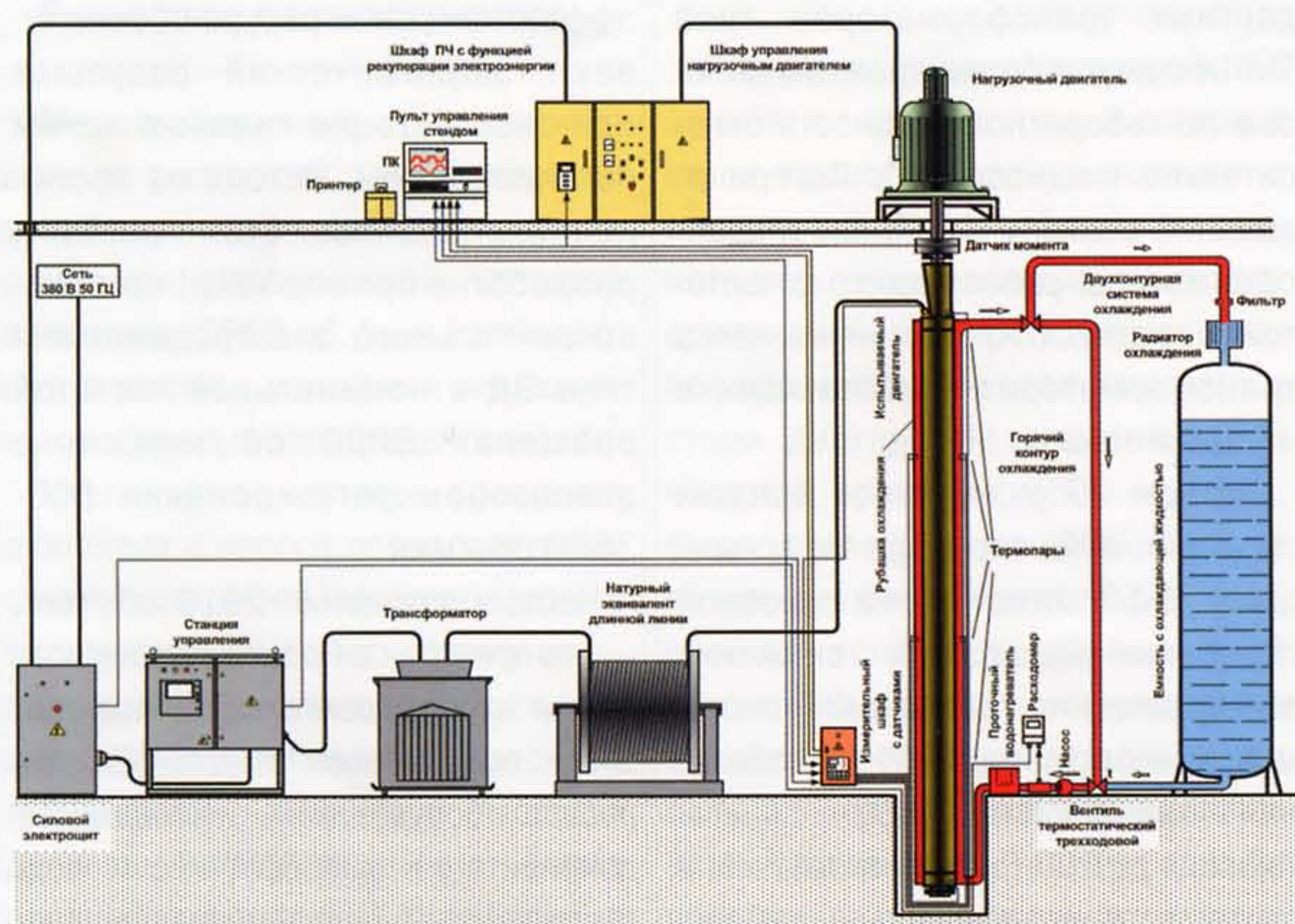


Рис. 1. Структурная схема стенда для проведения исследований вентильных приводов погружных насосов

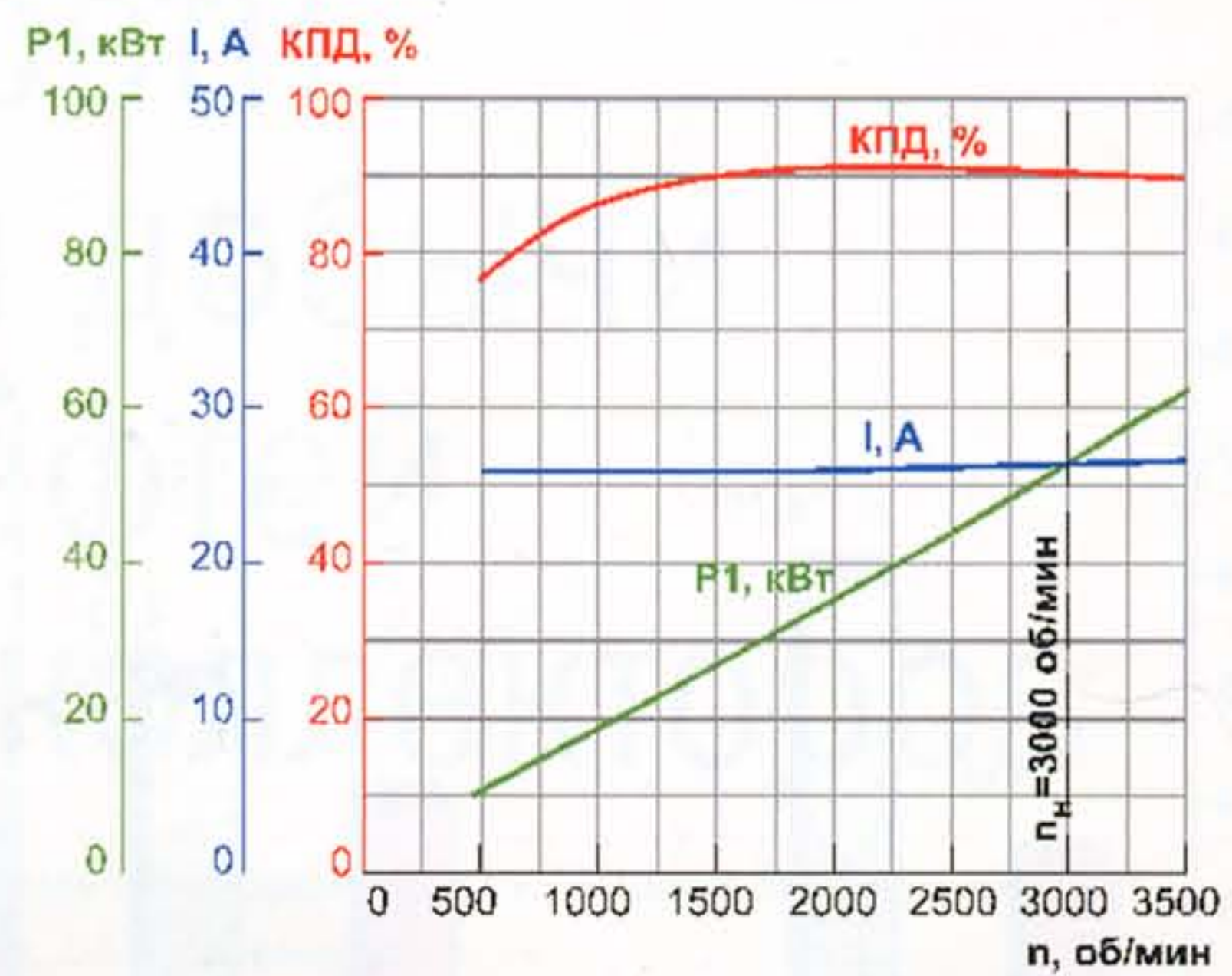
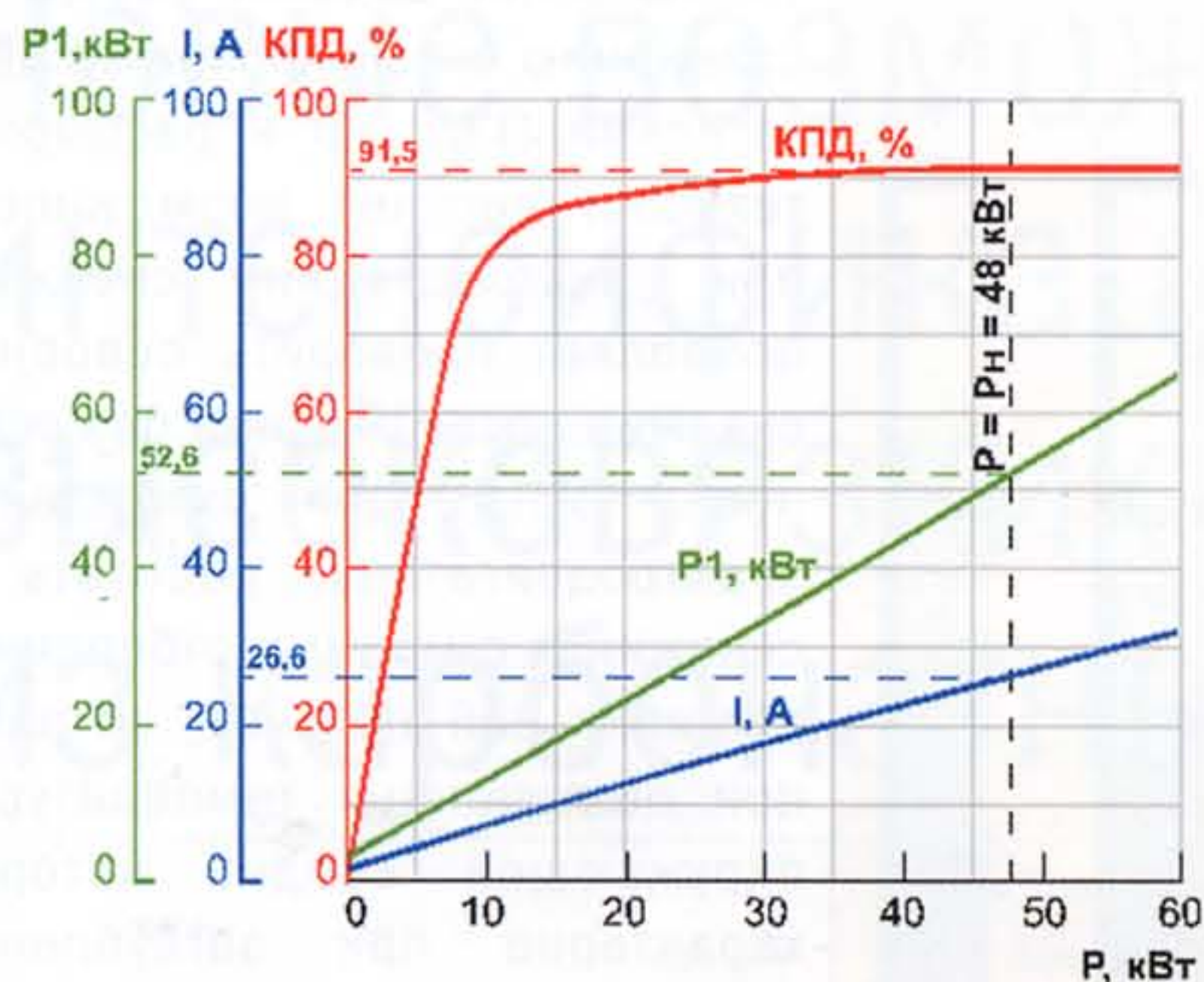


Рис. 2. Рабочие характеристики вентильного электродвигателя ВД48- 117В5

Физическое моделирование окружающей среды испытываемого электродвигателя осуществляется прокачиванием регулируемого объема жидкости с регулируемой температурой через полость, образуемую между корпусом электродвигателя и кожухом системы охлаждения, что позволяет определять предельные мощности,

нагрузки и перегревы электродвигателя при различных скоростях омываемого двигателя потока. Питание электродвигателя от повышающего трансформатора осуществляется по погружному кабелю с возможностью подбора различных сечений и длин кабельных линий.

Измерение параметров электро-

двигателя и станции управления в различных режимах работы, их визуализация на мониторе и регистрация результатов измерений ведется в реальном масштабе времени. Программное обеспечение реализовывает функции автоматического управления по выбранной легенде, обработку информации, поступающей с датчиков, хранение

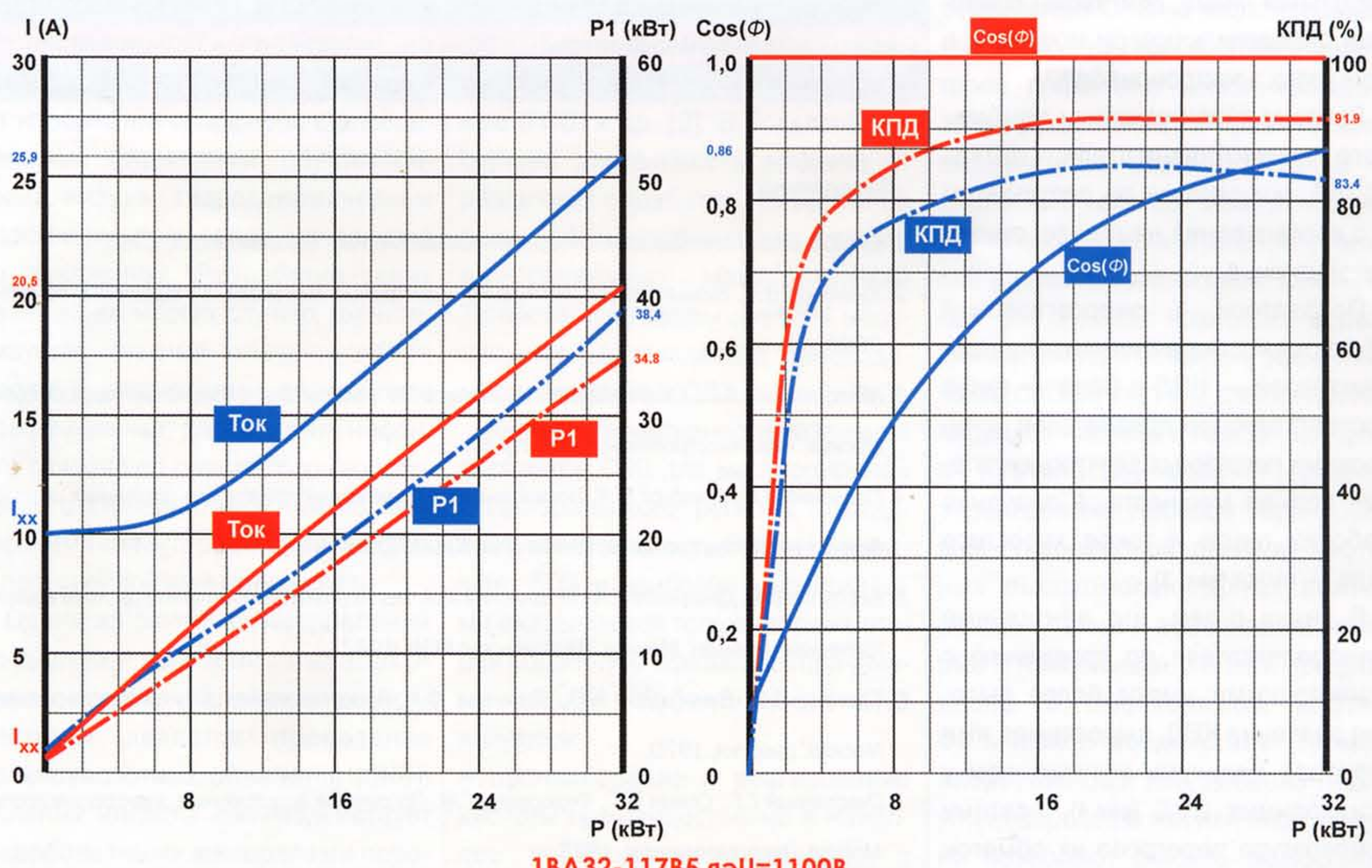


Рис. 3. Рабочие характеристики вентильного ВД32-117В5 и асинхронного ПЭД32-117В5 электродвигателей

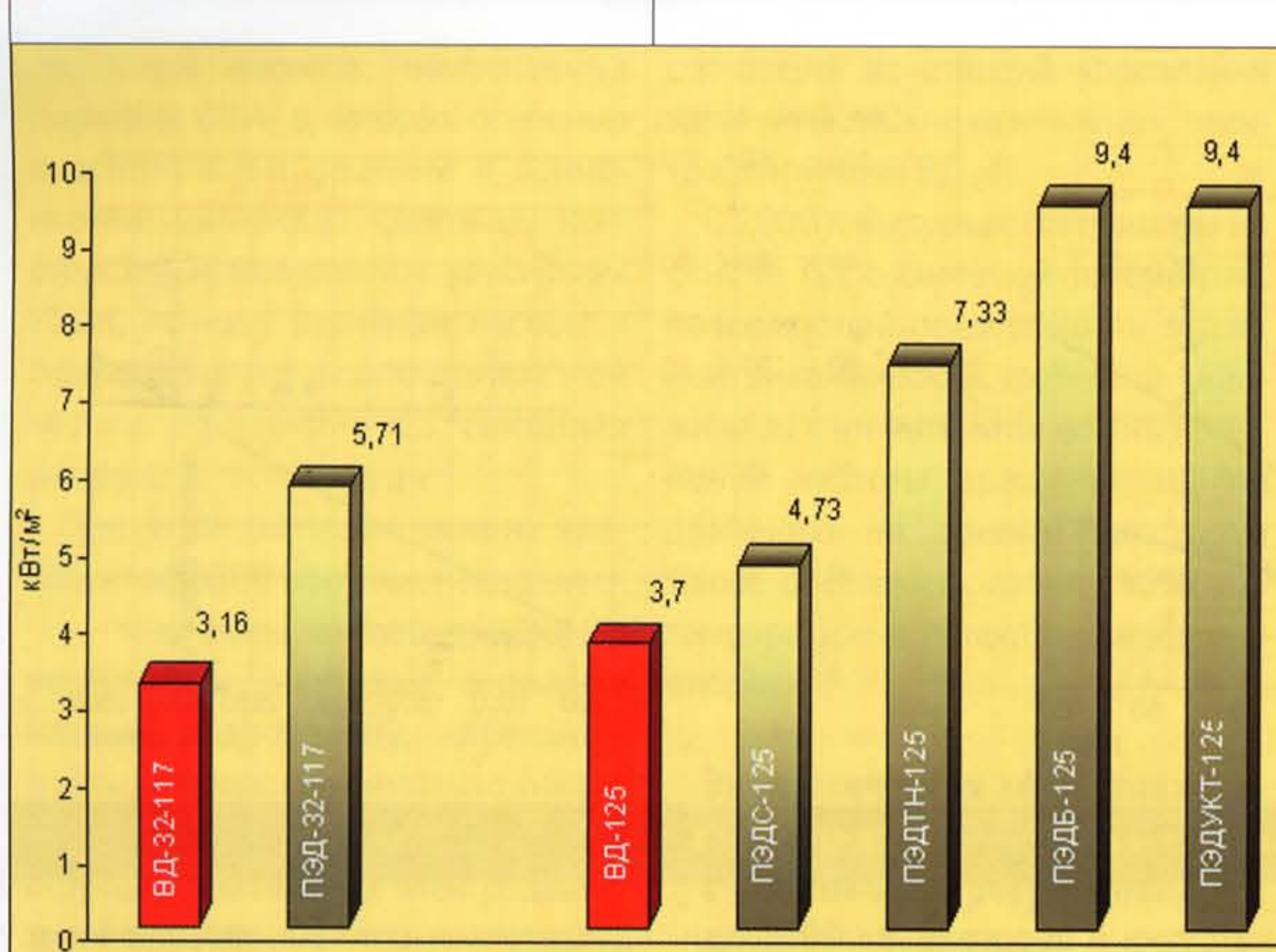


Рис. 4. Удельное тепловыделение электродвигателей ВД и ПЭД

полученных результатов в базе данных компьютера.

Возможность замера электрических параметров на входе и выходе каждого звена установки (станция управления, трансформатор, кабельная линия, двигатель) позволяет определить потери мощности в этих узлах электропривода.

Рабочие характеристики вентильного электродвигателя ВД48-117В5, полученные по результатам его исследования на стенде, приведены на **рис. 2**.

Показатели энергетической эффективности вентильных электродвигателей — КПД и Cosф — выше соответствующих показателей асинхронных погружных электродвигателей равной мощности, а значения рабочих токов и токов холостого хода — ниже (**рис. 3**).

В связи с тем, что вентильные электродвигатели по сравнению с асинхронными имеют более высокие значения КПД, выделяемая ими тепловая мощность меньше, чем у асинхронных ПЭД (**рис. 4**), поэтому температура перегрева их обмоток ниже (**табл. 1**).

Малые значения температур перегрева вентильных электродвигателей ВД обеспечивает не

только более высокий ресурс по сравнению с асинхронными двигателями ПЭД, но и расширяет технологические возможности при эксплуатации скважин: позволяет проводить освоение скважин после ремонта без остановки УЭЦН для охлаждения электродвигателя, работать в скважинах с малыми отборами и нестабильной подачей, а также при повышенных температурах окружающей среды, которая характерна при заглублении УЭЦН с целью форсирования отбора продукции.

Результаты реализации этих и других преимуществ вентильных приводов будут опубликованы в очередном номере журнала.

Табл. 1. Температура перегрева обмоток ВД и ПЭД

Показатель	ВД32	ПЭД32
КПД, %	91,9	84,5
Cosф	0,99	0,86
Напряжение, В	1100	1000
Рабочий ток, А	20,5	26,0
удельное тепловыделение, $\text{kW}/\text{м}^2$	3,16	5,71
Скорость охлаждающей жидкости, м/с	0,04	0,08
Перегрев обмотки, $^{\circ}\text{C}$	25	40

Литература

- Бут Д.А. Бесконтактные электрические машины. Москва, Высшая школа, 1985.
- Кузнецов В.А., Кузьмичев В.А. Вентильно-индукторные двигатели. М. Издательство МЭИ, 2003.
- Животовский Л.С., Смойловская Л.А. Лопастные насосы для абразивных гидросмесей. Москва, «Машиностроение», 1978, стр.87.
- Павленко В.И., Гинзбург М.Я. Новый высокоэффективный привод для погружных центробежных и винтовых насосов. «Технологии ТЭК» №3, 2004.
- Беспалов В.Я., Дунайкина Е.А., Мошинский Ю.А. Нестационарные тепловые расчеты в электрических машинах. Москва, Издательство МЭИ, 1987.
- Сергеев П.С., Виноградов Н.В., Горяинов Ф.А. Проектирование электрических машин. Москва, Энергия, 1970.
- Счастливый Г.Г., Семак В.Г., Федоренко Г.М. Погружные асинхронные электродвигатели. Москва, Энергоатомиздат, 1983.
- Dugan R.C., Mc granaghan M. F., Beatty H. W. Electrical Power Systems Quality.
- Львов А.П. Электрические сети повышенной частоты. Энергоиздат, 1981.